

3, 5-二硝基水杨酸表面修饰纳米 TiO₂ 吸附对硝基苯酚

郑凤英^{1,2}, 钱沙华^{1*}, 李顺兴², 陈智煜²

(1. 武汉大学环境科学系, 武汉 430072; 2. 漳州师范学院化学系, 漳州 363000)

摘要: 化学吸附法合成 3, 5-二硝基水杨酸表面修饰的 TiO₂ 纳米粒子, TiO₂ 表面修饰后呈浅黄色, TiO₂ 表面羟基与 3, 5-二硝基水杨酸发生类似于醇和酸间的酯化反应。表层链接有苯环, 极性减弱, 非极性增强, 在水、苯、乙醇中均分散性良好, 与芳香族污染物的亲合力增强, 有利于吸附去除芳香族污染物。表面修饰的 TiO₂ 纳米粒子 20mg, 在最佳吸附 pH 值 3, 吸附时间 10min, 对 100mL 对硝基苯酚(3~10 mg/L) 的吸附率可由改性前的 43% 增至 99.9%。该法吸附效率高, 可直接达到一级排放标准, 提供了深度处理对硝基苯酚废水的新方法。

关键词: 二氧化钛; 表面修饰; 纳米粒子; 吸附法; 对硝基苯酚; 芳香族污染物; 深度处理

中图分类号: X703.1 文献标识码: A 文章编号: 0250-3301(2006)06-1140-04

Adsorption of *p*-Nitrophenol by Nanosized Titanium Dioxide Surface Modified with 3, 5-dinitrosalicylic Acid

ZHENG Feng-ying^{1, 2}, QIAN Sha-hua¹, LI Shun-xing², CHEN Zhi-yu²

(1. Department of Environmental Science, Wuhan University, Wuhan 430072, China; 2. Department of Chemistry, Zhangzhou Teacher College, Zhangzhou 363000, China)

Abstract: Nanometer size titanium dioxide modified with 3, 5-dinitrosalicylic acid (3, 5-DA) was prepared using chemical adsorption method. The influences of surface modification on the adsorption of *p*-nitrophenol (PNP) and the dispersion in solvent such as water, benzene and ethanol were studied. The 3, 5-dinitrosalicylic acid is bonded to the surface hydroxyl from TiO₂ nanoparticles, results in the formation of a stable, six-ring complex which color is buff. The 3, 5-DA-modified TiO₂ nanoparticles have good dispersive capacity in water, benzene and ethanol. Under the optimum conditions such as pH value 3, adsorption time 10 min, the adsorption ratio of PNP by TiO₂ is improved from 43% to 99.9% through surface modification. A new method could be used to remove directly 3~10mg/L PNP, and the residual concentrations is below the integrated wastewater discharge standard (GB 8978-1996).

Key words: titanium dioxide, surface modification, nanoparticle, adsorption, nitrophenol, aromatic pollution, in-depth treatment

对硝基苯酚被我国 USEPA^[1] 列为水中优先控制污染物, 属原型质毒物, 苯酚废水直接排放污染严重, 对人体健康及水生生态系统均有明显危害。我国《污水综合排放标准》(GB 8978-1996) 规定苯酚的一、二、三级排放标准分别为 0.3、0.4、1.0 mg/L。吸附剂广泛应用于含酚废水处理, 如改性煤^[2]、树脂^[3]、改性膨润土等^[4], 但均只能用于前处理。急需研发高效率、低成本、适于对硝基苯酚废水深度处理的新方法。

纳米 TiO₂ 因其比表面积大、无毒、成本低、使用寿命长, 在吸附去除有机污染物中倍受青睐^[5]; 但存在以下缺陷: 有机污染物在 TiO₂ 表层的覆盖率极低^[6], 纳米 TiO₂ 呈阳极性, 粒子表面能高, 易团聚, 有效作用面积下降, 在水及有机介质中不易分散^[7], 必须进行表面修饰。修饰方式主要有^[8, 9]: 贵金属的沉积、过渡金属离子的掺杂、半导体复合、表面光敏化、表面整合及衍生作用。其中, 表面修饰法

主要有活性炭^[5]、油酸^[7]、硬脂酸^[10]、Fe(III)-卟啉^[11]、抗坏血酸^[12]、N, N'-二烃基-4, 4'-二吡啶(*N, N'*-dialkyl-4, 4'-bipyridinium)^[13], 但操作繁琐、费时, 成本高, 部分表面修饰材料和实验过程对人类健康、环境有害; 难以突破 TiO₂ 吸附有机污染物的瓶颈——有机污染物在 TiO₂ 表层覆盖率低。

难降解有机污染物均含苯环, 通过表面修饰增强纳米 TiO₂ 与芳香族污染物的亲和力, 是提高吸附效率的关键。本研究以 3, 5-二硝基水杨酸为表面修饰剂, 通过表面化学吸附法对纳米 TiO₂ 进行表面修饰, 用以吸附去除对硝基苯酚。以红外光谱法探讨纳米 TiO₂ 表面修饰机制; 吸附实验考察表面修饰对

收稿日期: 2005-06-15; 修订日期: 2005-07-26

基金项目: 国家自然科学基金项目(20177017); 福建省青年科技人才创新项目(2003J035)

作者简介: 郑凤英(1969~), 女, 硕士研究生, 主要研究方向为固相萃取在分析及污染治理中的应用。

* 通讯联系人, E-mail: qiansh@whu.edu.cn

TiO_2 吸附芳香族污染物的影响; 分散性实验考察修饰前后纳米 TiO_2 极性变化.

1 材料与方法

1.1 试剂与仪器

纳米 TiO_2 (锐钛型, 10~30nm, 武汉大学化学系无机化学教研室提供, 制取方法参见文献[14]). 试剂均为分析纯, 以超纯水配制溶液. 超纯水由 Millipore 超纯水系统(Millipore Co., Bedford, MA) 制取. 用 Nicolet 360 傅立叶转换红外光谱仪表征纳米粒子的表面键合结构; Perkin Elmer UV-1200 PC 型分光光度计(上海光谱仪器有限公司) 测定对硝基苯酚浓度.

1.2 纳米 TiO_2 的表面修饰

把纳米 TiO_2 置于 3,5-二硝基水杨酸饱和溶液中搅拌 40min, 将修饰后的纳米 TiO_2 在 105 °C 下烘干 2h.

1.3 表面修饰纳米 TiO_2 的红外可见光谱表征

用红外光谱仪对纳米 TiO_2 及其表面修饰产物的表面基团结构进行表征, 以推断表面修饰的作用机制.

1.4 分散性实验

分别将 50mg 纳米 TiO_2 .3,5-二硝基水杨酸修饰 TiO_2 加入到 50mL 的水、苯、乙醇中, 搅拌 30min, 静置, 观察其在不同溶剂中的分散性.

1.5 表面修饰纳米 TiO_2 吸附对硝基苯酚实验

配制 pH 值分别为 1.2.3.4.5.6 的 5 mg/L 对硝基苯酚溶液 100mL, 加入 3,5-二硝基水杨酸修饰的 TiO_2 100mg, 搅拌 3.5.10.20.30 min 时取样 6.5mL, 用 0.22μm 滤膜抽滤, 取滤液 5mL, 用 NH₄Cl 缓冲溶液(pH=9) 定容至 10mL, 在 400nm 处测滤液中对硝基苯酚的吸光度, 据标准曲线法得出滤液中对硝基苯酚浓度 c, 求算不同 pH 条件下吸附剂对对硝基苯酚的吸附率. 吸附率 $T = (c_0 - c)/c_0$, 其中 c_0 为对硝基苯酚的初始浓度(mg/L).

2 结果与讨论

2.1 红外光谱研究表面修饰基团

纳米 TiO_2 以及水杨酸 3,5-二硝基水杨酸表面修饰的 TiO_2 纳米粒子的红外光谱见图 1.

改性后的 TiO_2 纳米粒子(谱线 b 和 c) 于 3 406~3 477cm⁻¹.1 444~1 465cm⁻¹ 处分别出现羟基(TiO_2 纳米粒子表面的特征峰) 和苯环的伸缩振动峰, 在 1 531cm⁻¹ 处出现硝基吸收峰; 在 1 623~

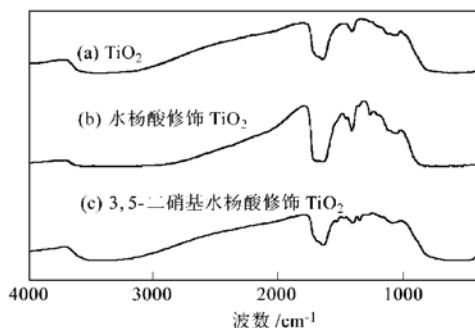
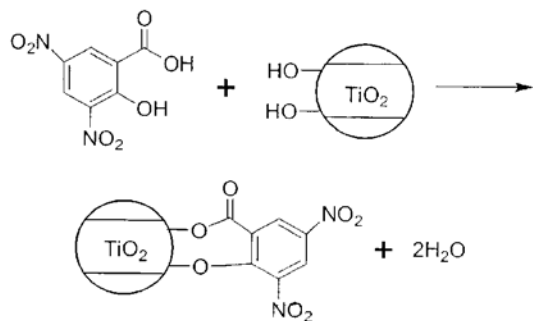


图 1 TiO_2 及其表面修饰的 TiO_2 纳米粒子的红外光谱

Fig. 1 IR spectra of TiO_2 nanoparticles and its modified derivative

1 669cm⁻¹、1 408~1 398cm⁻¹ 出现 COOTi 的反伸缩对称和振动峰, 这表明水杨酸和 3,5-二硝基水杨酸中的羧基、酚羟基与 TiO_2 表面羟基发生类似酸和醇之间的酯化反应, 形成稳定性较强的六元环结构. 表面修饰可能的反应式如下:



羟基、硝基的吸电子作用、苯环的共轭作用均有利于延缓 TiO_2 表面电子-空穴的复合速率, 降低带隙能, 因此 TiO_2 表面修饰后由原来的白色变为浅黄色.

2.2 表面修饰对 TiO_2 分散性的影响

未修饰的纳米 TiO_2 能较稳定地悬浮于极性溶剂如水、乙醇中, 不能悬浮于苯(非极性溶剂), 说明 TiO_2 为极性粉体. TiO_2 粒子具有很高的表面活性, 表面大量的悬挂键极易水解产生 OH, 但很难将其表面的 OH 完全酯化, 经 3,5-二硝基水杨酸表面修饰后产生的 COOTi NO₂ 等基团使其可较好分散于极性的乙醇、水中, 表面修饰层中的苯基有疏水作用, 使其在苯(非极性溶剂)中分散性良好.

2.3 表面修饰对 TiO_2 吸附对硝基苯酚性能的影响

2.3.1 pH 值及吸附时间对吸附率的影响

不同 pH 条件下 3,5-二硝基水杨酸表面修饰的 TiO_2 纳米粒子对对硝基苯酚的吸附率情况见图 2. 在 pH=3 的条件下, 3,5-二硝基水杨酸表面修饰 TiO_2 纳米粒子对对硝基苯酚的吸附率最高, 达 98.8%, 与表面修饰前的 43% 相比有显著的提高.

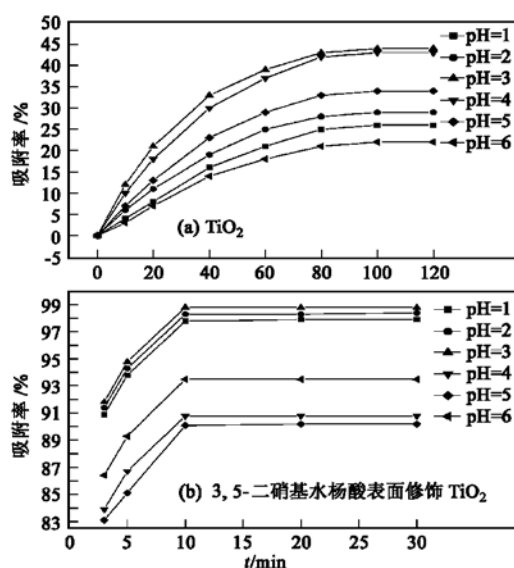


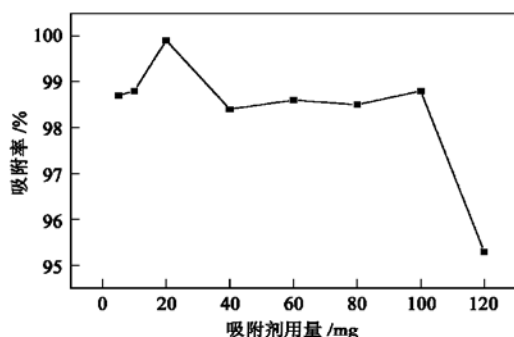
图2 pH值和吸附时间对吸附率的影响

Fig. 2 Effect of pH and adsorption time on the adsorption ratio

TiO₂ 经 3, 5-二硝基水杨酸修饰后对对硝基苯酚的吸附速率大为改善, 在最佳吸附 pH 值 3 的条件下于吸附时间 10 min 时即可达最大吸附率, 吸附率恒定在 98.8%, 故后续操作的吸附时间定为 10 min。

2.3.2 吸附剂用量对吸附率的影响

在 100mL 5 mg/L pH= 3 对硝基苯酚溶液中, 分别加入 5, 10, 20, 40, 60, 80, 100, 120 mg 3, 5-二硝基水杨酸修饰的 TiO₂, 考察吸附剂用量对吸附率的影响, 结果见图 3。

图3 表面修饰 TiO₂ 纳米粒子用量对吸附率的影响Fig. 3 Effect of the dosage of 3, 5-dinitrosalicylic acid-modified TiO₂ on the adsorption ratio

吸附剂的有效表面积或表面活性点位的数量是吸附率的决定因素。当用量低于 20 mg 时, TiO₂ 总比表面积减少, 表面活性点位数量减少, 因此吸附率降低。当吸附剂用量大于 20 mg, TiO₂ 浓度增大, 但

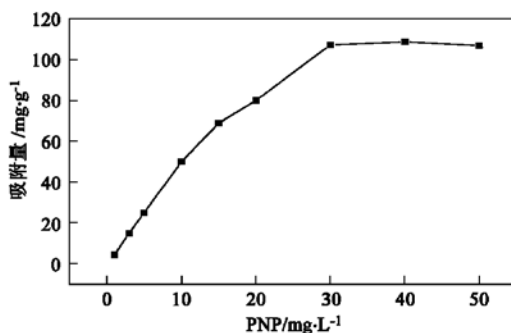
团聚程度随用量增加有所增大, 故吸附剂总有效表面积在 40~100mg 时相对稳定, 因此, 吸附率相对稳定。当用量 $\geq 100\text{mg}$ 时, 吸附率急剧下降, 此时 TiO₂ 已形成胶束, 致使有效表面积或表面活性点位的数量大幅度减少, 1 mg/mL 为表面修饰的 TiO₂ 粒子的临界胶束浓度。改性 TiO₂ 最佳用量为 20 mg, 此时吸附率最大, 达 99.9%。

2.3.3 表面修饰 TiO₂ 纳米粒子对对硝基苯酚的饱和吸附量

测定 3, 5-二硝基水杨酸修饰的 TiO₂ 对浓度分别为 1, 3, 5, 10, 15, 20, 30, 40, 50 mg/L 对硝基苯酚溶液的吸附量, 绘制等温吸附曲线, 见图 4。3, 5-二硝基水杨酸修饰的 TiO₂ 对对硝基苯酚的饱和吸附量为 108.68 mg/g, 吸附等温曲线属于 Langmuir型, 吸附等温式为:

$$G = 108.68c / (12.165 + c)$$

式中, G 为吸附量; c 为对硝基苯酚溶液吸附平衡浓度。

图4 表面修饰 TiO₂ 纳米粒子对对硝基苯酚 (PNP) 的等温吸附曲线 (20 °C)Fig. 4 Adsorption isotherm of *p*-nitrophenol (PNP) with 3, 5-dinitrosalicylic acid-modified TiO₂ (20 °C)

2.3.4 试样浓度对吸附率的影响

固定试样体积 100mL, 对硝基苯酚浓度对吸附率的影响情况见表 1。从表中可知浓度在 1~10

表1 对硝基苯酚浓度对吸附率的影响 (V: 100 mL)

Table 1 Effect of the concentration of PNP on the adsorption ratio (V: 100mL)

| 初始浓度 / mg·L ⁻¹ | 吸附率 / % | 处理后残余浓度 / mg·L ⁻¹ |
|---------------------------|---------|------------------------------|
| 1 | 85.9 | 0.14 |
| 3 | 99.9 | 0.03 |
| 5 | 99.9 | 0.05 |
| 10 | 99.9 | 0.10 |
| 15 | 92.5 | 1.12 |
| 20 | 80.2 | 3.96 |
| 30 | 71.8 | 8.46 |
| 40 | 54.6 | 18.16 |
| 50 | 42.9 | 28.55 |

mg/L范围内对硝基苯酚溶液经表面修饰TiO₂纳米粒子吸附后,可达到一级排放标准(0.3 mg/L)。

2.3.5 试样体积对吸附率的影响

固定对硝基苯酚浓度为3 mg/L,实验探讨了试样体积分别为50、80、100、120、150、200、250、300、350、400、500mL时对吸附率的影响,结果见表2。

表2 对硝基苯酚溶液体积对吸附率的影响(*c*_{PNP}: 3mg/mL)

Table 2 Effect of the sample volume of PNP on the adsorption ratio (*c*_{PNP}: 3mg/mL)

| 试样体积/mL | 吸附率/% | 处理后残余浓度/mg·L ⁻¹ |
|---------|-------|----------------------------|
| 50 | 92.1 | 0.24 |
| 80 | 98.2 | 0.05 |
| 100 | 99.9 | 0.03 |
| 120 | 98.6 | 0.04 |
| 150 | 96.0 | 0.12 |
| 200 | 90.1 | 0.29 |
| 250 | 81.3 | 0.56 |
| 300 | 69.5 | 0.91 |
| 350 | 57.3 | 1.27 |
| 400 | 44.9 | 1.64 |
| 500 | 15.3 | 2.52 |

从表2可以看出,当试样体积小于100mL时,溶液中纳米TiO₂浓度增大,促进TiO₂表面团聚,总有效作用面积下降,吸附率下降。当试样体积大于100mL时,溶液中对硝基苯酚物质的量增大,而TiO₂用量固定为20mg,即TiO₂表面活性点位数量固定,故吸附率降低。吸附率在取样体积100mL时最佳。从污水处理效果考虑,表面修饰纳米TiO₂粒子吸附去除3 mg/L对硝基苯酚溶液,试样体积为50~200mL时可达到一级排放标准,体积为250~300mL时,可达到三级排放标准(1.0 mg/L)。

3 结论

3,5-二硝基水杨酸表面修饰TiO₂纳米粒子,具有简便、快捷、成本低廉等特点;经修饰后纳米粒子的表层链接有苯环,极性减弱,非极性增强,在水、苯、乙醇中均分散性良好,与芳香族污染物的亲合力增强,有利于吸附去除芳香族污染物;可显著提高对对硝基苯酚的吸附率,突破TiO₂吸附去除芳香族污染物的瓶颈——吸附剂表面的低覆盖率。该法吸附效率高,可直接达到一级排放标准,提供了深度处理

对硝基苯酚废水的新方法。

参考文献:

- [1] Zaidi B R, Imam S H, Greene R V. Accelerated Biodegradation of High and Low Concentrations of *p*-Nitrophenol (PNP) by Bacterial Inoculation in Industrial Wastewater [J]. Current Microbiol., 1996, **33**: 292~ 296.
- [2] 夏斌斌. 改性粉煤灰吸附对硝基苯酚的研究[J]. 环境科学与技术, 2000, **3**: 25~ 28.
- [3] 施翔, 任谦. 树脂吸附法处理对硝基苯酚废水的研究[J]. 南京工业职业技术学院学报, 2004, **4**(2): 34~ 35.
- [4] 沈学优, 卢瑛莹, 朱利中. 对-硝基苯酚在水/有机膨润土界面的吸附行为——热力学特征及机理[J]. 中国环境科学, 2003, **23**(4): 367~ 370.
- [5] Tryba B, Morawski A W, Inagaki M, et al. Application of TiO₂-mounted activated carbon to the removal of phenol from water [J]. Appl. Catal. B: Environ., 2003, **41**: 427~ 433.
- [6] Chen D W, Ray A. Photocatalytic kinetics of phenol and its derivatives over UV irradiated TiO₂ [J]. Appl. Catal. B: Environ., 1999, **23**: 143~ 157.
- [7] 李宗威, 朱永法. TiO₂纳米粒子的表面修饰研究[J]. 化学学报, 2003, **61**(9): 1484~ 1487.
- [8] 翟宏伟, 马万红, 赵进才. 可见诱导TiO₂光催化研究进展[J]. 科学通报, 2003, **48**(21): 2199~ 2204.
- [9] Li F B, Li X Z. The enhancement of photodegradation efficiency using Pt-TiO₂ catalyst [J]. Chemosphere, 2002, **48**: 1103~ 1111.
- [10] 徐存英, 段云彪. 纳米二氧化钛的表面改性研究[J]. 云南化工, 2000, **27**(5): 6~ 7.
- [11] Molinari A, Amadelli R, Antolini L. Photoredox and photocatalytic process on Fe(III)-porphyrin surface modified nanocrystalline TiO₂ [J]. J. Molecular Catal. A: Chem., 2000, **158**: 521~ 531.
- [12] Xagas A P, Bernard M C, Goff A H-L, et al. Surface modification and photosensitization of TiO₂ nanocrystalline films with ascorbic acid [J]. J. Photochem. Photobiol. A: Chem., 2000, **132**: 115~ 120.
- [13] Bossmann S H, Gob S, Siegenthaler T. An *N*, *N'*-dialky-4,4'-bipyridinium-modified titanium dioxide photocatalyst for water remediation observation and application of supramolecular effects in photocatalytic degradation of π-donor organic compounds [J]. Fresenius J. Anal. Chem., 2001, **371**: 621~ 628.
- [14] Ma W H, Cai R X, Lin Z X. Studies on adsorption properties of chromium(VI) on the nanometer size TiO₂ powders surfaces using on-line flow-injection analysis [J]. Chem. J. Chin. Univer., 1998, **19**(10): 1566~ 1569.